

บทที่ 4  
ผลการทดลอง

การเตรียมโปรตีนเขียวไซyanin จากเลือดปู

จากการเตรียมโปรตีนเลือดปู วัดค่าการดูดกลืนแสงที่ความยาวคลื่น 280 นาโนเมตร ( $A_{280}$ ) ได้เท่ากับ 0.1319 (รูปที่ 4-1) ในขณะที่สารละลายโปรตีนที่ใช้เป็นมาตรฐานคือ BSA ที่มีมวลโมเลกุลเท่ากับ 68,000 ดาลตัน (Abbas et al., 1994) ที่ความเข้มข้นของ BSA 1 มิลลิกรัมต่อน้ำกลั่น 1 มิลลิลิตร วัดค่า  $A_{280}$  ได้เท่ากับ 0.7 โดยใช้น้ำกลั่นเป็นค่าปรับศูนย์ (blank) จะนั้น สารละลายที่เตรียมได้จากเลือดปูมีโปรตีนเท่ากับ  $0.1319/0.7$  หรือ 0.188 มิลลิกรัมต่อมิลลิลิตร โปรตีนจากเลือดปูมีมวลโมเลกุลขนาดใหญ่กว่า 12,000 ดาลตันและไม่สามารถผ่านเยื่อบางได้ (dialysis membrane) มีลักษณะเป็น colloidal สีดำเข้ม ตกรตะกอนได้ง่าย

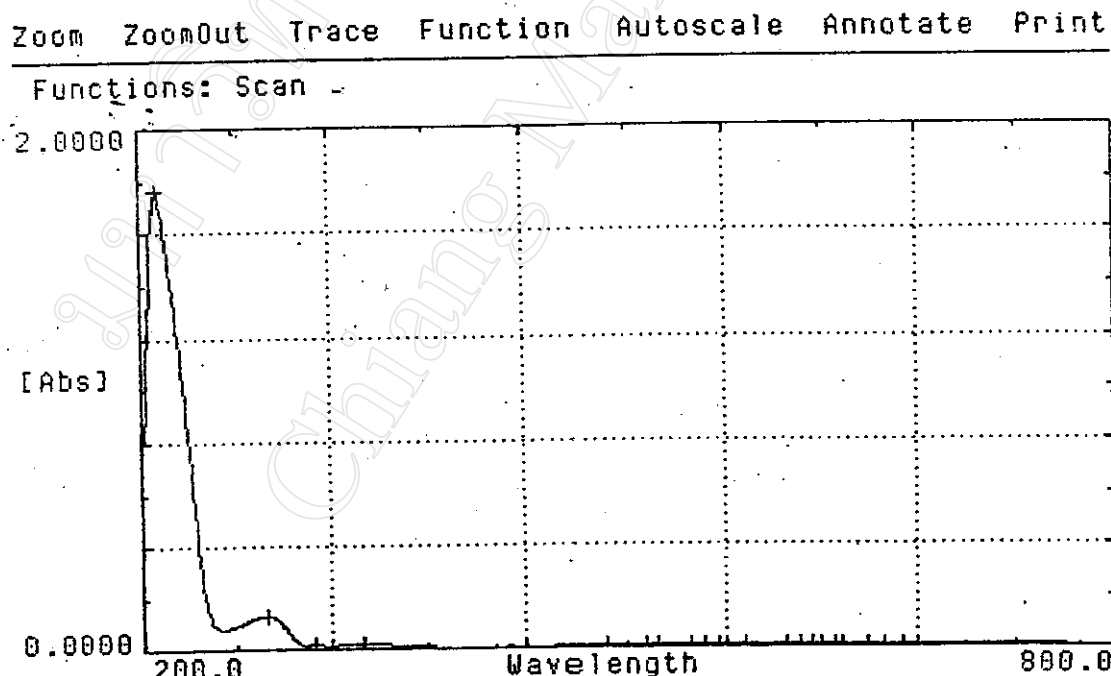


Figure 4-1. Absorbance at 200-800 nm of Partial Purified of Hemocyanin from Sea Crab (*Scylla serrata Rathbun*)

## การเตรียมเอนไซม์เปอร์อ็อกซิเดสจากหัวไชเท้า

เอนไซม์เปอร์อ็อกซิเดสมีมวลโมเลกุลเท่ากับ 38,000-42,000 ดาลตัน (40,000 ดาลตัน) ประกอบด้วยหมู่ยีน 1 หมู่ ( $M_w = 616.48$ ) มีค่าการดูดกลืนแสลงมากที่สุดที่ความยาวคลื่น 403 นาโนเมตร ( $A_{403}$ ) และโปรตีน ( $M_w = 39,383.52$ ) มีค่าการดูดกลืนแสลงมากที่สุดที่ความยาวคลื่น 280 นาโนเมตร ( $A_{280}$ ) (Shanthon et al., 1966) สารละลายที่เตรียมจากหัวไชเท้ามีโปรตีนหลายชนิด วัดค่า  $A_{280}$  ได้เท่ากับ 1.255 และ  $A_{403}$  ได้เท่ากับ 0.5663 ซึ่งมีโปรตีนเท่ากับ  $1.255/0.7$  หรือ 1.7928 มิลลิกรัมต่อมิลลิลิตร (เมื่อเทียบกับโปรตีนมาตรฐาน) และมียีน 24.5 ในโครงสร้างต่อ มิลลิลิตร  $RZ = 0.45$  และให้ยีนคำนวนหาปริมาณเอนไซม์เปอร์อ็อกซิเดสในสารละลายที่เตรียมได้โดยเอนไซม์ CRP หนึ่งโมเลกุลประกอบด้วยยีนหนึ่งโมลและโกลบินหนึ่งโมล เพราะฉะนั้น ยีนมีความเข้มข้น 24.5 ในโครงสร้างต่อมิลลิลิตร และมีเอนไซม์เปอร์อ็อกซิเดส 155.6 ในโครงสร้างต่อมิลลิลิตร ตามตารางที่ 2 นำมาศึกษา activity ของเอนไซม์ โดยการเติมเอนไซม์เปอร์อ็อกซิเดสกับสารตั้งต้น (OPD) วัดค่าการดูดกลืนแสลงมากที่สุดที่ 490 นาโนเมตร ( $A_{490}$ ) ซึ่งเป็นค่าดูดกลืนแสลงผลิตของปฏิกิริยานี้ตามระยะเวลาต่างๆ ให้แกนตั้งแสดง  $A_{490}$  แกนนอนแสดงระยะเวลาหลังจากเติม OPD (วินาที) ดังรูปที่ 4-2

### ผลการหา working titer โดยวิธี Indirect ELISA

นำเอนไซม์ที่ได้มาเทือนติดกับเอนติบอดีของกระต่ายเพื่อหา working titre (secondary antibody conjugated) เอียนกราฟโดยให้แกนตั้งแสดงค่า  $A_{492}$  แกนนอนแสดงค่าส่วนกลับของอัตราเจือจาง (reciprocal dilution) เส้นกราฟแต่ละเส้นแสดงอัตราส่วนโมลของเอนไซม์ต่อเอนติบอดีกระต่ายที่ต้านพลาสماไก่และหาพื้นที่ใต้กราฟ (AUC) โดยใช้โปรแกรม Auto Cad R.13 (เมมชาญ, 2539) ปรากฏว่าที่อัตราส่วนโมลของเอนไซม์ต่อเอนติบอดีของกระต่ายที่ต้านพลาสماไก่ 100:1, 1,000:1, 10,000:1 และ 100,000:1 เป็น 0.5525, 1.1480, 0.9410 และ 1.0030 หน่วยความลับ (รูปที่ 4-3) ที่อัตราส่วนโมลเอนไซม์ต่อเอนติบอดีของกระต่ายที่ต้านพลาสmaไก่ 1,000:1 มีค่าพื้นที่ใต้กราฟของ working titre สูงที่สุดและอัตราเจือจาง 1:100 ให้ค่าพื้นที่ใต้กราฟสูงและใกล้เคียงกับค่าอัตราเจือจาง 1:10 ดังนั้นจึงใช้อัตราส่วนโมลเอนไซม์ต่อเอนติบอดีกระต่ายที่ต้านพลาสmaของไก่ 1,000:1 ที่อัตราเจือจาง 1:100 และเมื่อนำไปหาปริมาณเอนติบอดีต่อโคลสเทอรอլในไก่โดย indirect ELISA ปรากฏว่าค่าดูดกลืนแสลงที่อยู่ได้ต่ำมาก

(เกือบจะเท่ากับค่าของ blank) จะนับจึงนำเอนไซม์ที่เรื่อมติดกับแอนติบอดีกระด่ายที่ด้านพลาสมาไก่น้ำหาอัตราเจือจางใหม่ที่อัตราส่วนโมลเอนไซม์ต่อแอนติบอดีของกระด่ายที่ด้านพลาสมากว่า 1,000:1 และเริ่มอัตราเจือจางที่ 1:2, 1:4, 1:8, 1:16, 1:32 และ 1:64 ปรากฏว่า ค่า working titre ครั้งใหม่นี้จะใช้อัตราเจือจาง 1:2 ซึ่งเป็นค่าสูงสุดเพื่อหาระยะแอนติบอดีต่อโคลเลสเทอโรลในไก่ต่อไป

Table 2. Calculation the CRP amounts of partial purified Chinese Radish extract.

Molecular weight of CRP (Shannon et al., 1966)	40,000
Molecular weight of Heme	616.48
Molecular weight of Protein	39,383.52
Beer's Law (เมมชาญ, 2539)	$OD = E C I$ $0.1319 = 5,500 \times C \times 1$ $C = 2.45 \times 10^{-5}$
Heme (ug/l)	24.5
Heme (mole) = protein (mole)	$0.000024/616.48 = Prot/39383.52$
Protein (mg)	1.53
Heme (umole/L)	0.389
Chinese Radish Peroxidase (ug/ml)	155.6

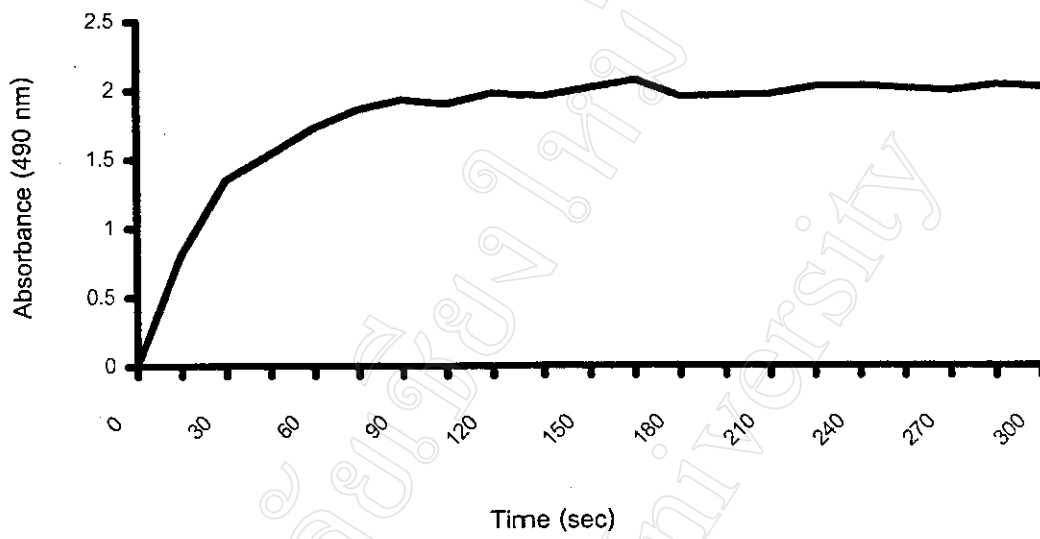


Figure 4-2. Peroxidase activity in Chinese Radish extract.

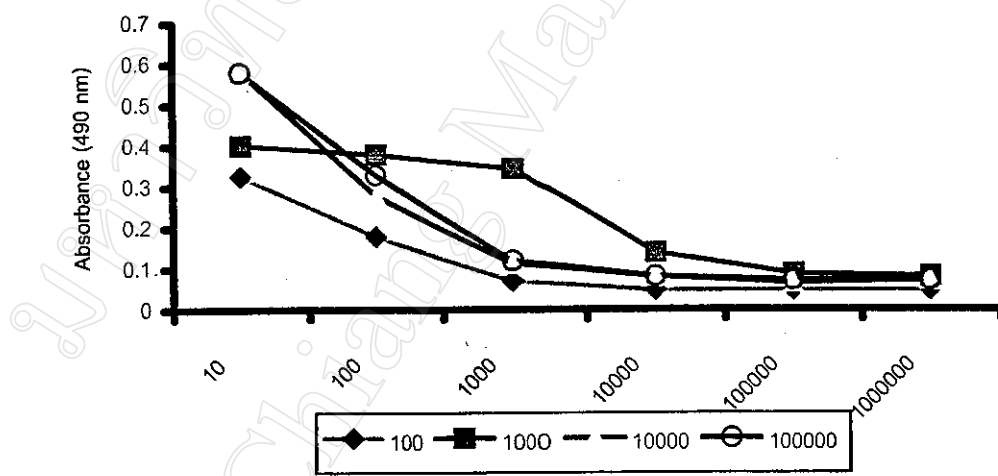


Figure 4-3. Working titer of rabbit-anti chicken serum conjugated with peroxidase by using indirect ELISA.

### การหาเส้นกราฟสารละลายน้ำดีรูบานของコレสเตอรอล

การหาปริมาณสารละลายน้ำดีรูบานของコレสเตอรอลโดยการเขียนกราฟ ให้แก่นั้น แสดงค่าดูดกลืนแสงสูงสุดที่ 560 นาโนเมตร ( $A_{560}$ ) แทนนองแสดงปริมาณสารละลายน้ำดีรูบาน (มิลลิกรัมต่อมิลลิลิตร) นำมาหาสมการทดแทน (regression equation) โดยใช้โปรแกรม Statistic Analysis System (SAS) และหาค่าสัมประสิทธิ์ของสมการทำนาย (ตาราง 3) พบว่า コレสเตอรอล (มิลลิกรัมต่อมิลลิลิตร) เท่ากับ  $5.577 \times A_{560} + 0.066$  ดังรูปที่ 4-4

Table 3. Coefficients of Predicted Regression Equation

Coefficients <sup>a</sup>	Unstandardized coefficients		Standardized coefficient Beta	t	Statistics Sig.
	B	Std. Error			
Constant	$6.6 \times 10^{-2}$	.010		6.324	.000
OD	5.577	.163	.918	34.295	.000

<sup>a</sup>Dependent Variable: Cholesterol

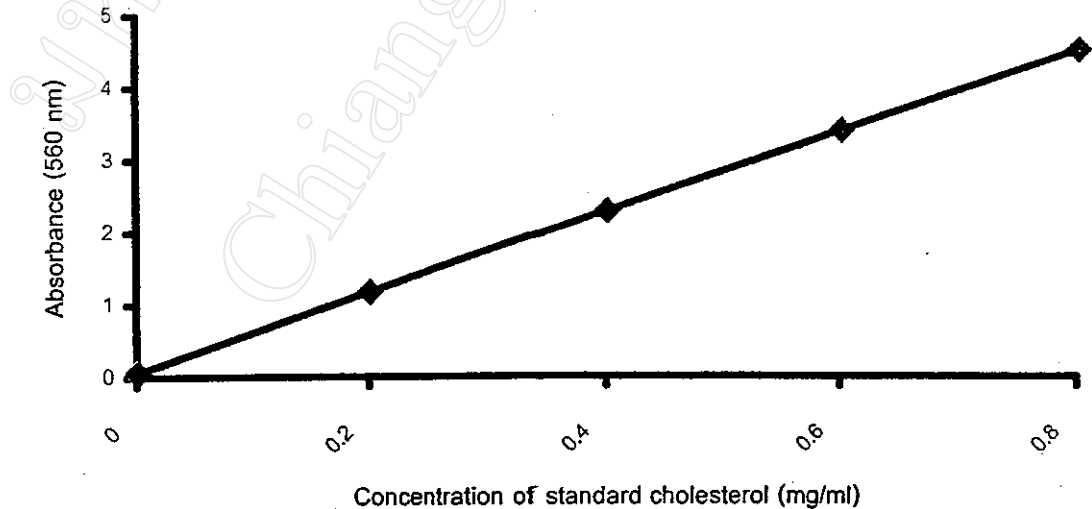


Figure 4-4. Standard curve of cholesterol.

### แอนติบอดีไทเตอร์ของโคลเลสเตรอรอลในชิ้นรั่มของไก่ไข่

หลังจากที่ได้กราดตุ้นญูมิคุ้มกันต้านโคลเลสเตรอรอล ในสัปดาห์ที่ 0, 2 และ 4 ปรากฏว่า แอนติบอดีไทเตอร์ในกลุ่มที่ได้รับการกราดตุ้นญูมิคุ้มกันมีระดับแอนติบอดีไทเตอร์สูงกว่ากลุ่มที่ไม่ได้รับการกราดตุ้นญูมิคุ้มกัน (treatment) ในสัปดาห์ที่ 2 อย่างมีนัยสำคัญ ( $P<0.05$ ) ( $75 \pm 30$  vs  $36 \pm 20$  หน่วย) และสูงกว่าอย่างมีนัยสำคัญยิ่งในสัปดาห์ที่ 8 และ 10 ( $P<0.01$ ) ( $273 \pm 844$  vs  $3285 \pm 1459$  หน่วยและ  $345 \pm 914$  vs  $3685 \pm 1262$  หน่วย) รูปที่ 4-5

### ปริมาณโคลเลสเตรอรอลในชิ้นรั่มของไก่ไข่

ระดับโคลเลสเตรอรอลในชิ้นรั่มของไก่ไข่ หลังจากการกราดตุ้นญูมิคุ้มกัน พบร้า การกราดตุ้นญูมิคุ้มกันต้านโคลเลสเตรอรอลมีผลต่อระดับโคลเลสเตรอรอลในชิ้นรั่มในสัปดาห์ที่ 4 และ 10 อย่างมีนัยสำคัญ ( $P<0.05$ ) ( $572.0 \pm 531.756$  mg/dL vs  $245.6 \pm 75.83$  mg/dL และ  $850.2 \pm 430.18$  mg/dL vs  $595.8 \pm 227.3$  mg/dL) และแตกต่างอย่างมีนัยสำคัญยิ่ง ( $P<0.01$ ) ในสัปดาห์ที่ 8 ( $774.0 \pm 512.6$  mg/dL vs  $362.0 \pm 176.8$  mg/dL) รูปที่ 4-6

### ปริมาณโคลเลสเตรอรอลในไข่แดง

ระดับโคลเลสเตรอรอลในไข่แดง การกราดตุ้นญูมิคุ้มกันต้านโคลเลสเตรอรอล มีผลต่อระดับโคลเลสเตรอรอลในไข่แดงในสัปดาห์ที่ 8 และ 10 อย่างมีนัยสำคัญ ( $P<0.05$ ) ( $96.5 \pm 20.5$  mg/g yolk vs  $49.11 \pm 11.98$  mg/g yolk และ  $96.15 \pm 28.49$  mg/g yolk vs  $35.98 \pm 17.76$  mg/g yolk ตามลำดับ) รูปที่ 4-7

### เปอร์เซ็นต์ไขมันในไข่แดง

เปอร์เซ็นต์ไขมันในไข่แดง การกระตุ้นภูมิคุ้มกัน (treatment) ไม่มีผลต่อระดับไขมันในไข่แดง ( $P>0.05$ ) ( $11.79 \pm 1.04\%$  vs  $12.02 \pm 0.81\%$ ,  $13.21 \pm 1.00\%$  vs  $13.61 \pm 1.08\%$ ,  $14.30 \pm 1.34\%$  vs  $14.58 \pm 1.39\%$ ,  $15.92 \pm 1.18\%$  vs  $17.79 \pm 7.07\%$  และ  $14.61 \pm 1.74\%$  vs  $15.31 \pm 0.98\%$ ) ในสัปดาห์ที่ 0, 2, 4, 8 และ 10 ตามลำดับ (รูปที่ 4-8)

### เปอร์เซ็นต์ไข่

เมื่อเปรียบเทียบเปอร์เซ็นต์ไข่ของไก่กลุ่มที่ได้รับการกระตุ้นภูมิคุ้มกันด้านโคลเลสเตอรอล กับกลุ่มที่ไม่ได้รับการกระตุ้น โดยเปอร์เซ็นต์ไข่ =  $(\text{จำนวนไข่ของไข่ที่ได้รับทรีทเมนต์} \times 100)/(\text{จำนวนไข่ที่ได้รับทรีทเมนต์เดียวกัน})$  ปรากฏว่า เปอร์เซ็นต์ของไข่กลุ่มที่ได้รับการกระตุ้นภูมิคุ้มกัน ด้านโคลเลสเตอรอลไม่แตกต่างกับกลุ่มที่ไม่ได้รับการกระตุ้นภูมิคุ้มกัน ( $P>0.05$ ) รูปที่ 4-9

### น้ำหนักตัวและน้ำหนักตับสดของไก่เนื้อ

น้ำหนักตัวของไก่เนื้อกลุ่มที่ได้รับการกระตุ้นภูมิคุ้มกันด้านโคลเลสเตอรอลมีน้ำหนักตัวเมื่อ สิ้นสุดการทดลอง 42 วันไม่แตกต่างจากกลุ่มที่ไม่ได้รับการกระตุ้นภูมิคุ้มกันทางสถิติ ( $P>0.05$ ) ( $1.74 \pm 0.10$  กิโลกรัม vs  $1.88 \pm 0.12$  กิโลกรัม) ส่วนน้ำหนักตับสดของไก่เนื้อกลุ่มที่ได้รับการกระตุ้นภูมิคุ้มกันด้านโคลเลสเตอรอลเมื่อสิ้นสุดการทดลอง 42 วันไม่แตกจากกลุ่มที่ไม่ได้รับการกระตุ้นภูมิคุ้มกันทางสถิติ ( $P>0.05$ ) ( $55.56 \pm 0.10$  กรัม vs  $57.33 \pm 0.13$  กรัม) รูปที่ 4-10

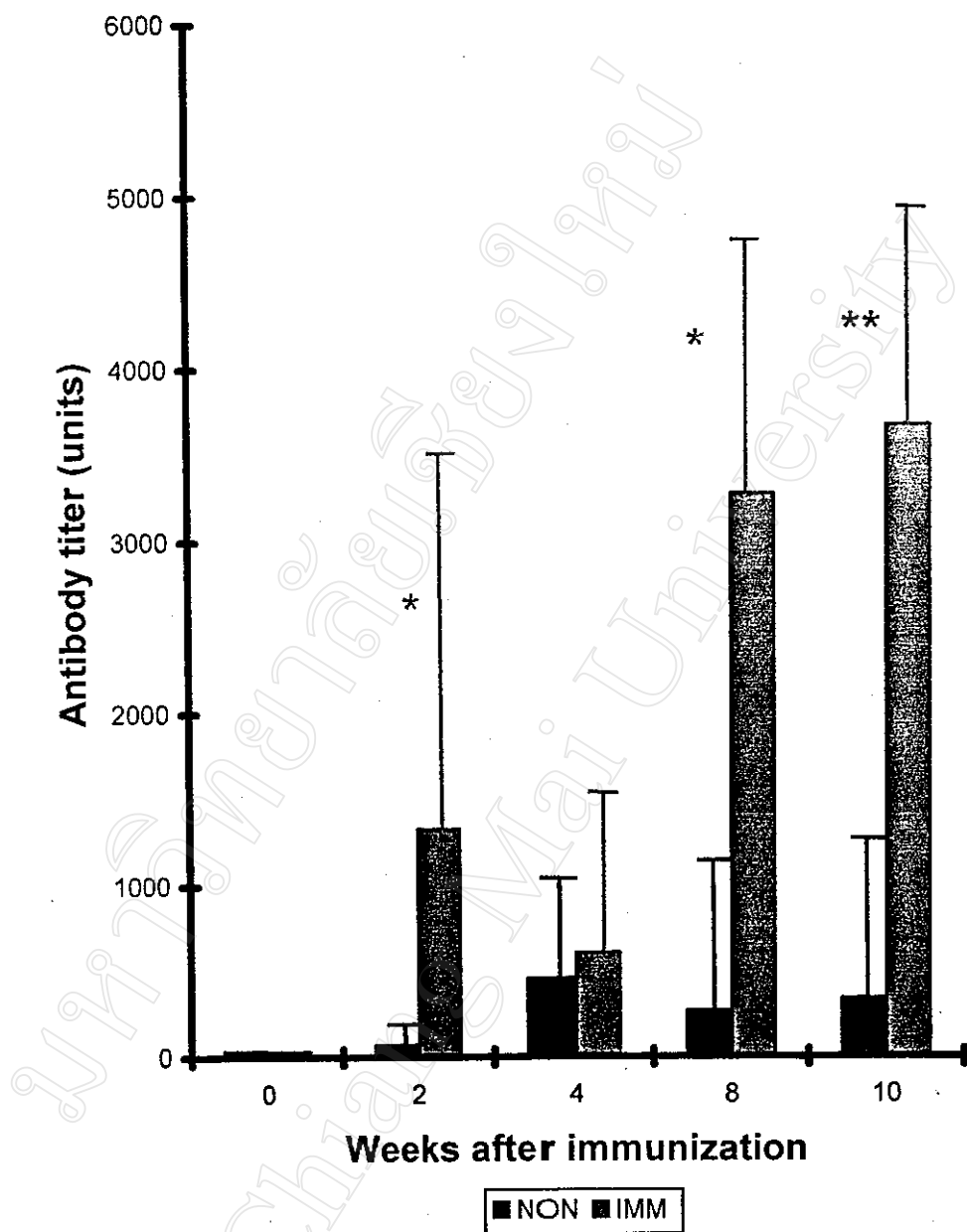


Figure 4-5. Antibody titer after immunization of cholesterol-3-pKLH.

IMM is Immunization ( $n=16$ ) and 1 IMM hen died at 2<sup>nd</sup> week after 1<sup>st</sup> immunization.

NON is non-immunization ( $n=20$ ) and 2 NON hens died at 2<sup>nd</sup> week after 1<sup>st</sup> immunization.

\* is significant different ( $P<0.05$ ).

\*\* is highly significant different ( $P<0.05$ ).

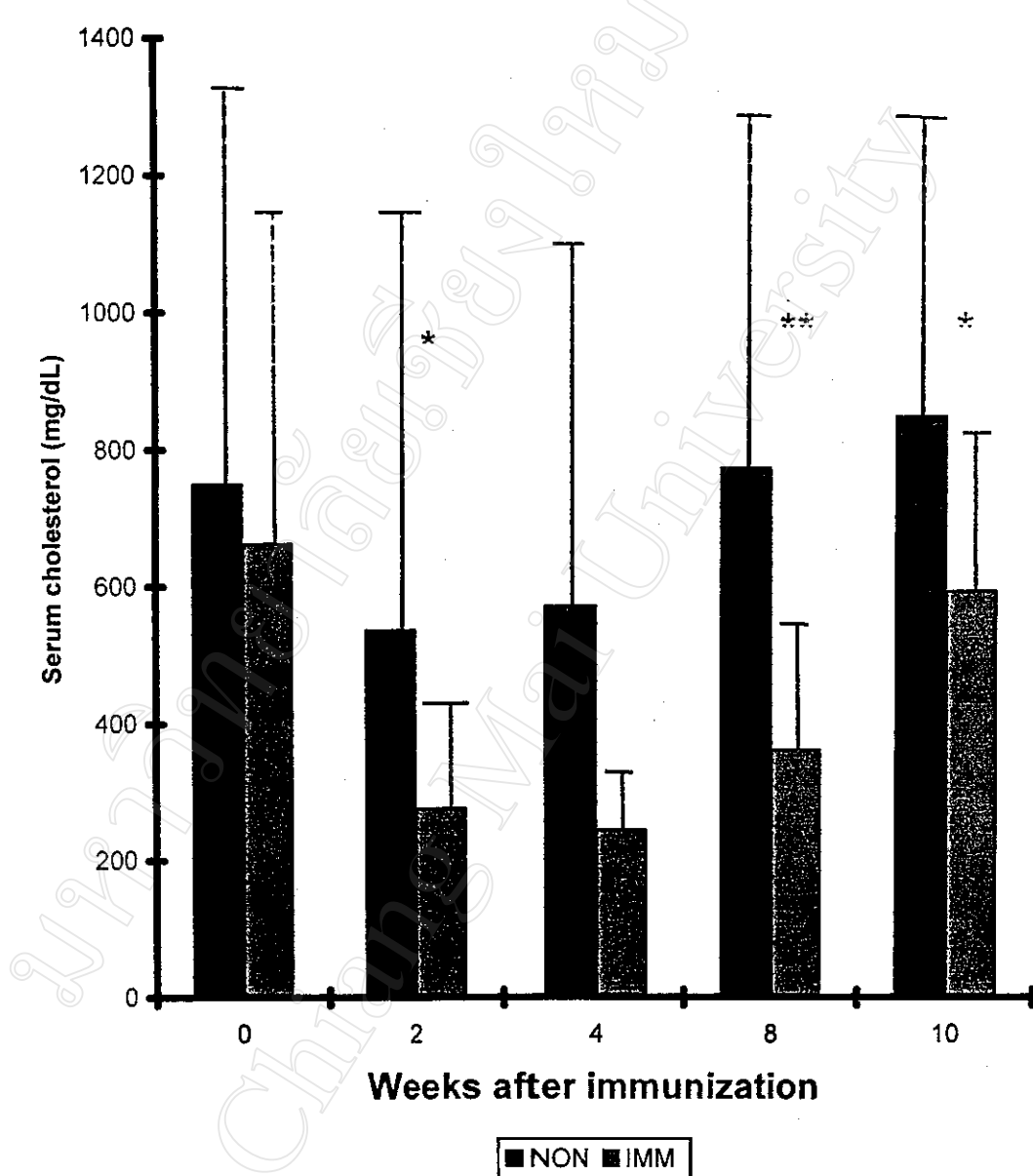


Figure 4-6. Serum cholesterol levels after immunization of cholesterol-3-pKLH.

IMM is Immunization ( $n=16$ ) and 1 IMM hen died at 2<sup>nd</sup> week after 1<sup>st</sup> immunization.

NON is non-immunization ( $n=20$ ) and 2 NON hens died at 2<sup>nd</sup> week after 1<sup>st</sup> immunization.

\* is significantly different ( $P<0.05$ ).

\*\* is highly significant different ( $P<0.01$ ).

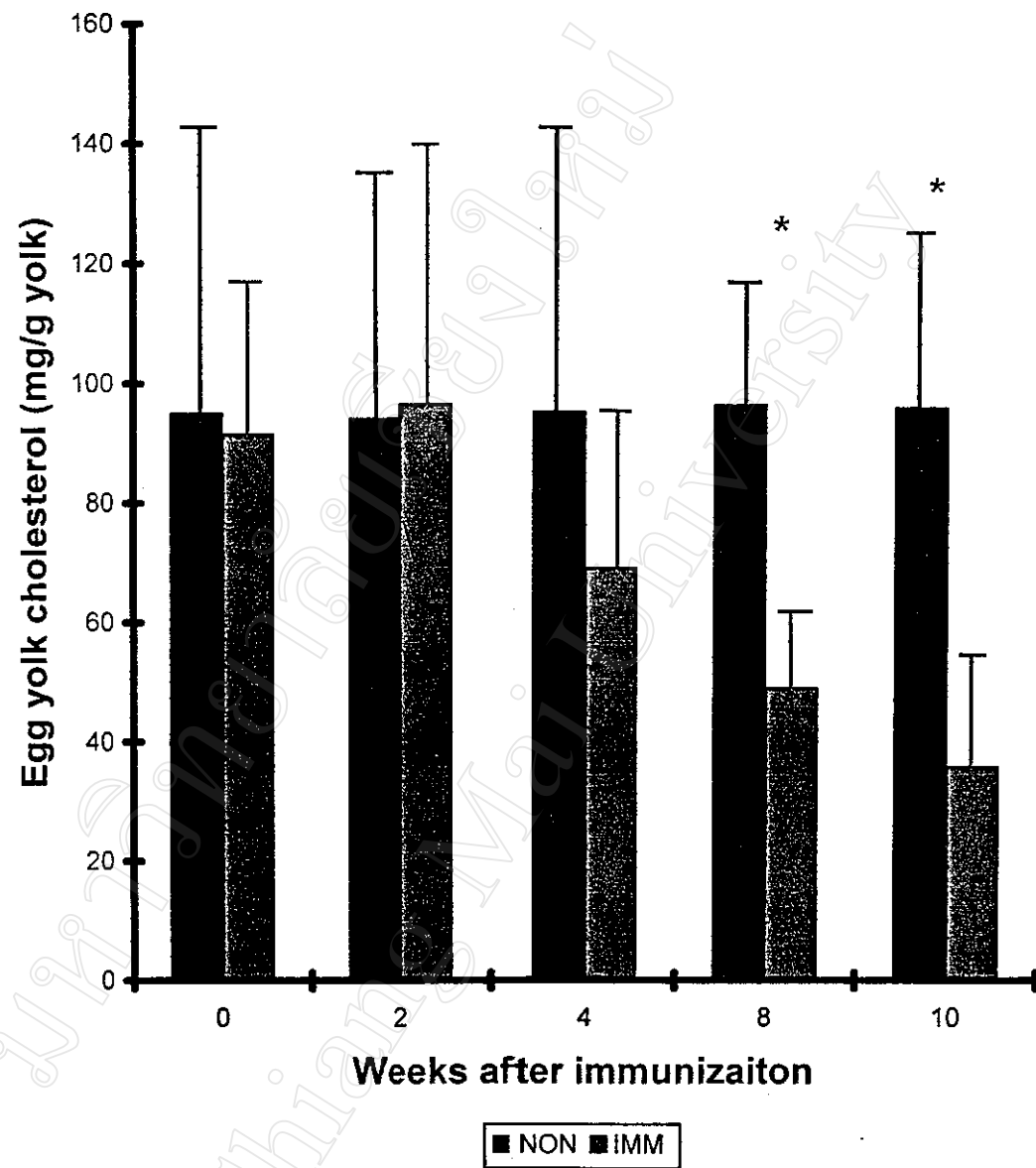


Figure 4-7. Egg yolk cholesterol levels after immunization of cholesterol-3-pKLH.

IMM is immunization ( $n=16$ ) and 1 IMM hen died at 2<sup>nd</sup> week after immunization.

NON is non-immunization ( $n=20$ ) and 2 NON hen died at 2<sup>nd</sup> week after immunization.

\* is significant different ( $P<0.05$ ).

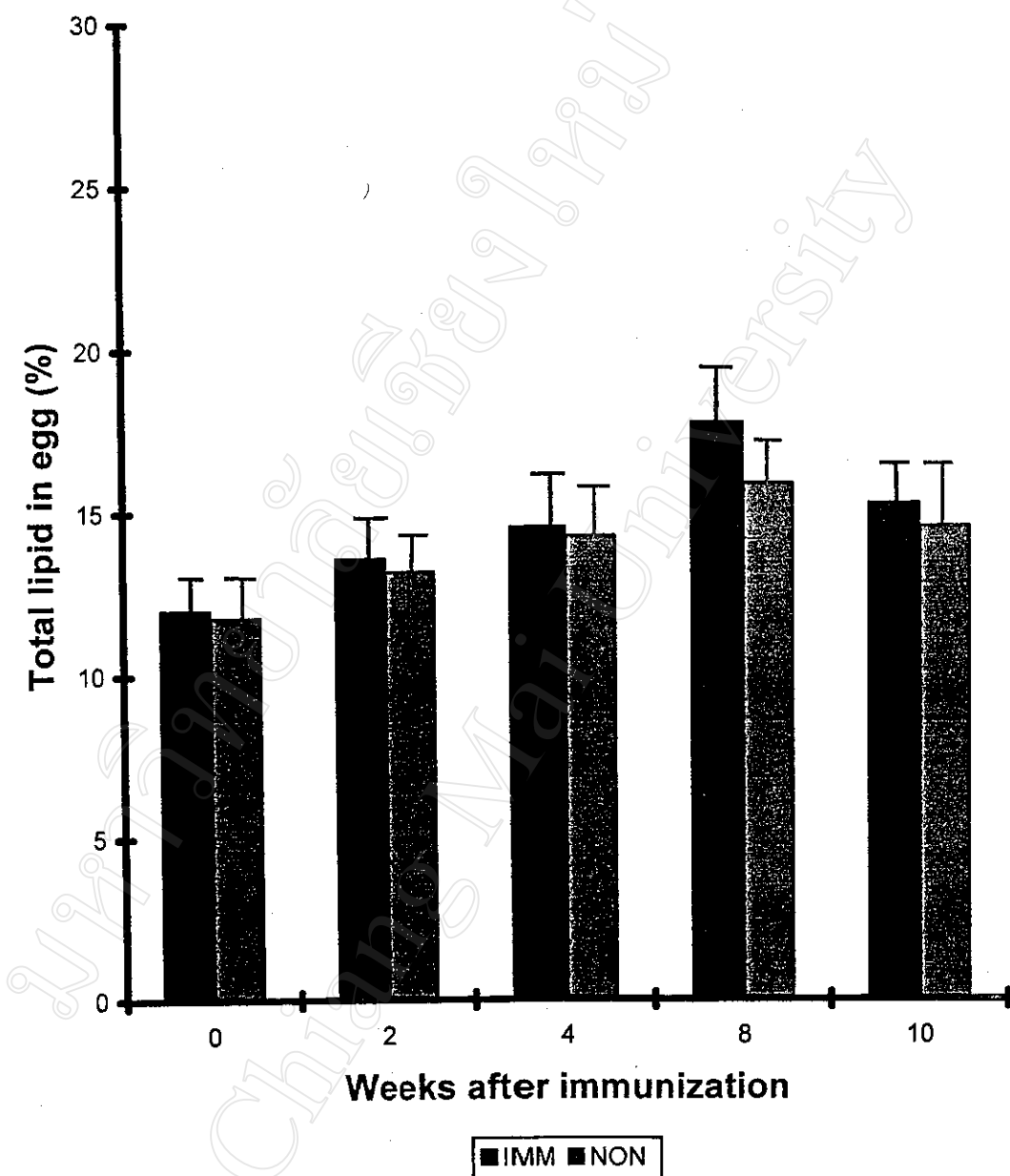


Figure 4-8. Total lipids in egg after immunization of cholesterol-3-pKLH.

IMM is immunization ( $n=16$ ) and 1 IMM hen died at 2<sup>nd</sup> week after immunization.

NON is non-immunization ( $n=20$ ) and 2 NON hens died at 2<sup>nd</sup> week after immunization.

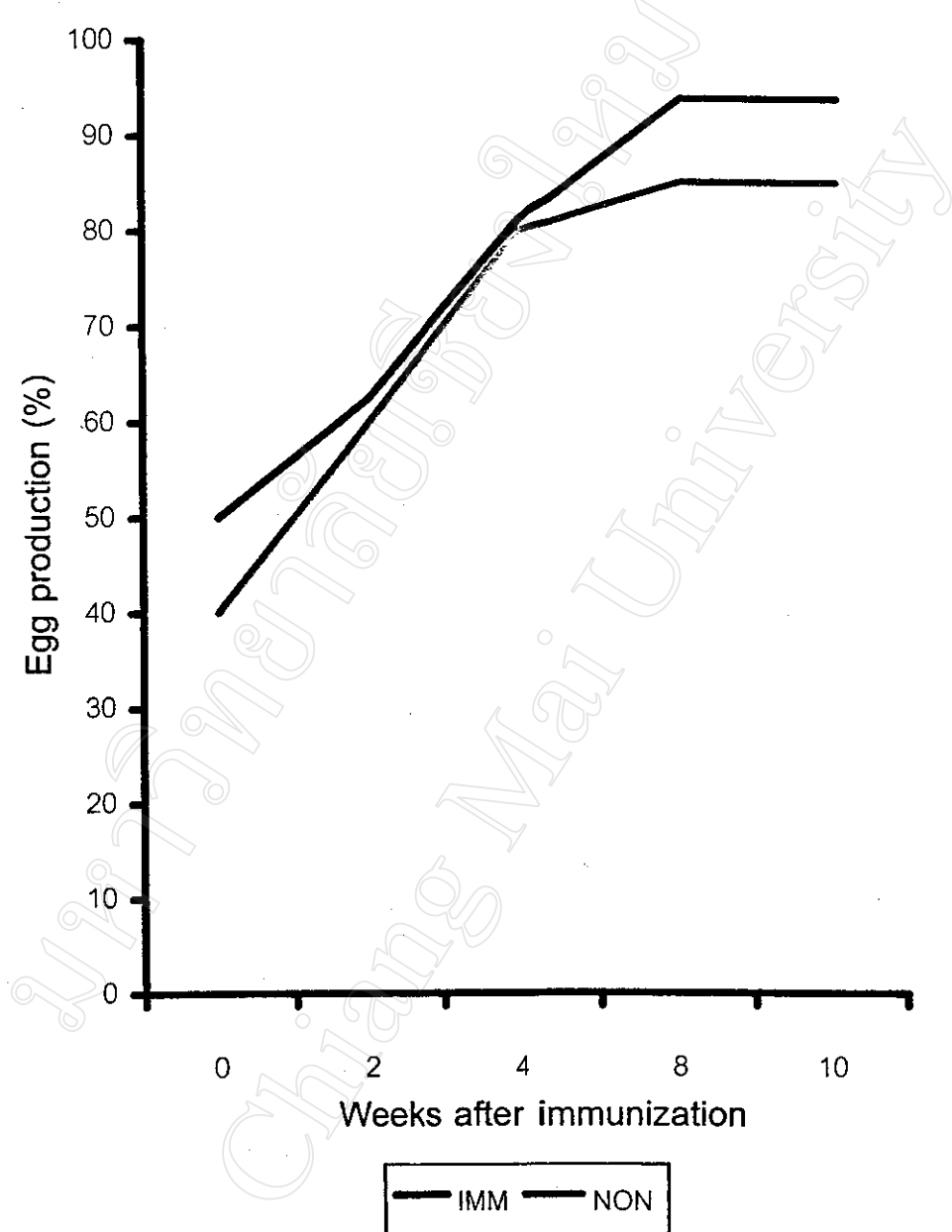


Figure 4-9. Percent of egg production of immunized and non-immunized hens.

IMM is immunization with cholesterol-3-pKLH ( $n=16$ ). NON is non-immunization ( $n=20$ ).

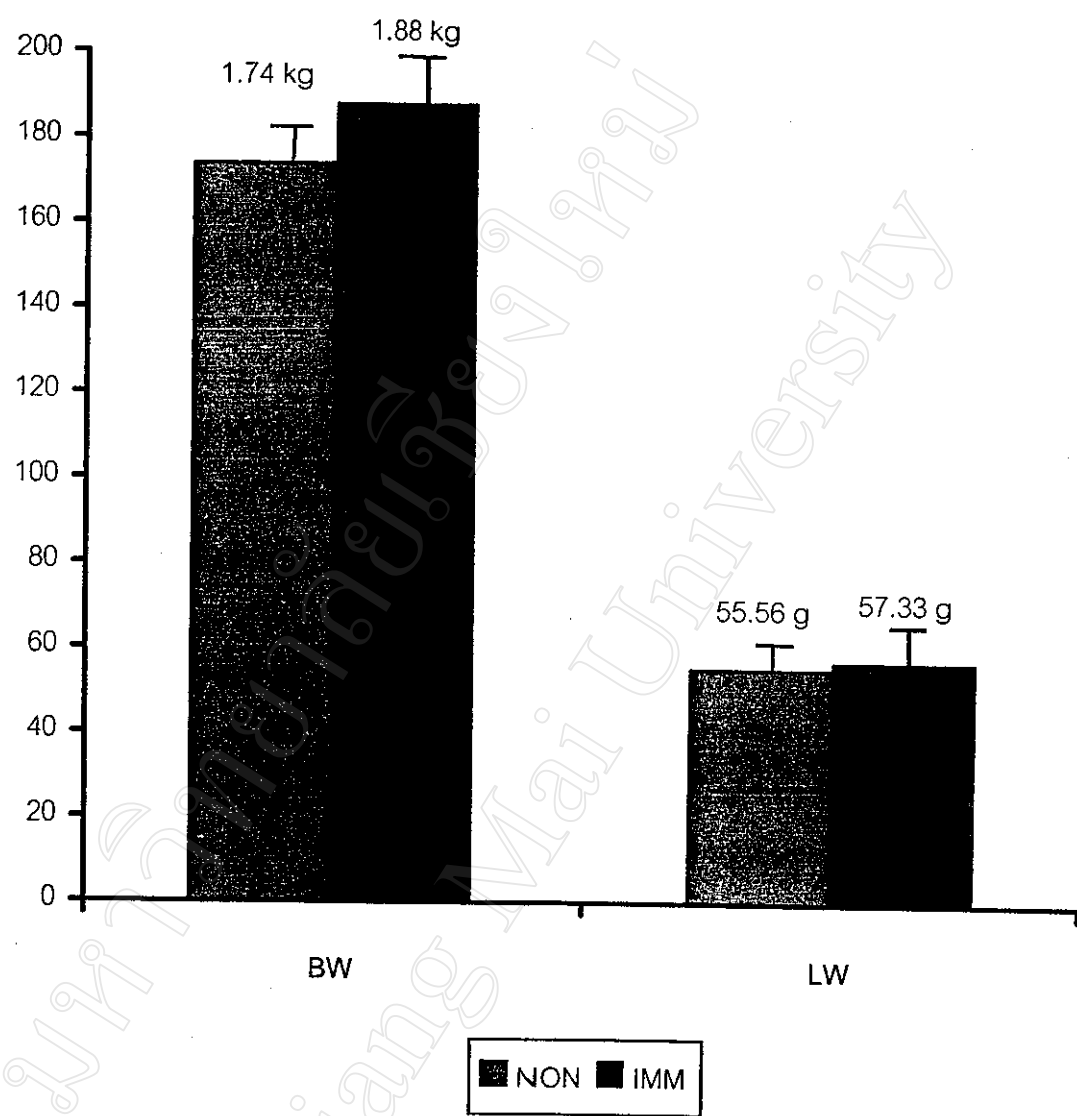


Figure 4-10. Body weights and liver weights of IMM and NON broiler at 42 days

IMM is immunization of cholesterol-3-pKLH at 0, 3 and 21 days

(n=9).

NON is non-immunization (n=9).